

I) Travail préliminaire :

Dans la partie précédente, nous avons utilisé la fonction 'trapz' pour calculer l'intégrale. Cette méthode n'est pas précise. Donc, la partie suivante nous allons calculer l'intégrale avec la méthode de Simpson. La fonction se définit comme la suivante :

```
function I=Simpson(f,a,b,step) % f:fonction // a,b: bornes
x1=[a:step:b];
y1=f(x1);
n1=length(x1);
x2=[a+step/2:step:b-step/2];
y2=f(x2);
I=step*((2*sum(y1)-y1(1)-y1(n1))/6+2*sum(y2)/3);
```

Nous testons notre fonction sur des intégrales qu'on connaît.

Par exemple ; $\int_0^{\infty} x^n e^{-x} = n!$

On définit la fonction myfun de manière suivante :

```
function y=myfun(x,n,a)
y=(x.^n).*exp(-x);
```

On remarque plus on augmente 'step', plus notre intégrale est précise.

On modifie la fonction myfun pour s'assurer que la fonction est correcte :

$$\int_0^{\infty} x^n e^{-ax} = \frac{n!}{a^{n+1}}$$

II) Équation de chaleur :

Une des applications des séries de Fourier qu'on a vu en cours, c'était le calcul d'équation de chaleur en connaissant l'état initial. On tente d'écrire un programme qui détermine le profil de température d'une barre de métal aux moments différents en connaissant son profil initial.

On prend la suivante comme profil initial :

$$u(x,0)=f(x)=\begin{cases} T_0 + \frac{2(T_1-T_0)}{L} & \text{pour } 0 < x < L/2 \\ 2T_1 - T_2 + \frac{2(T_2-T_1)}{L} & \text{pour } L/2 < x < L \end{cases}$$

et définira le profil de la manière suivante :

$$u(x,t) = \sum_{n=1}^{+\infty} b_n(t) \cdot \sin\left(\frac{n \cdot \pi \cdot x}{L}\right) \quad (1)$$

On cherche $\forall n \in \mathbb{N}, \forall t, b_n(t)$.

On connaît que $\forall n \in \mathbb{N}, b_n(0) = \frac{2}{L} \int_0^L f(x) \cdot \sin\left(\frac{n \cdot \pi \cdot x}{L}\right) dx$ (2).

Nous traduisons ceci en langage MATLAB de maniere suivante :

```
b0=zeros(1,N); %b0 correspond a bn(t=0) pour des valeur de n different
for n=1:N
    b0(1,n)=Simpson(@(x)f1(x,T0,T1,L,n),0,L/2,step);
    b0(1,n)=b0(1,n)+Simpson(@(x)f2(x,T1,T2,L,n),L/2,L,step);
end
```

Note: f1 correspond à f sur $0 < x < \frac{L}{2}$ et f2 à f sur $\frac{L}{2} < x < L$.

Utilisant une équation différentielle, on trouve que :

$$\forall n \in \mathbb{N}, b_n(t) = b_n(0) \cdot e^{\frac{-an^2\pi^2}{L^2}t} \quad (3)$$

qui nous donne la suivante :

```
t=[1,50,200,600,1800,3600]; %Les temps que nous chercherons
b=zeros(length(t),N); %Lines correspond to x, coloums to T.

%Calcul des coefficient de Fourier pour t differents
for n=1:N
    b(:,n)=b0(n)*exp((-n*pi)^2*alpha*t');
end
```

Puis, utilisant (1), on ecrit :

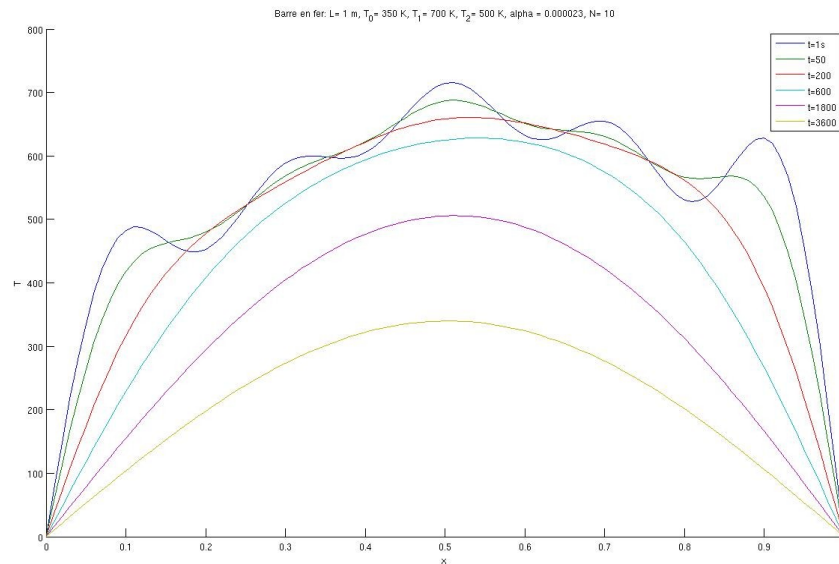
```
x=[0:0.01:L]; %les absissces

u=zeros(length(t),length(x)); %Les temperatures pour les t differents

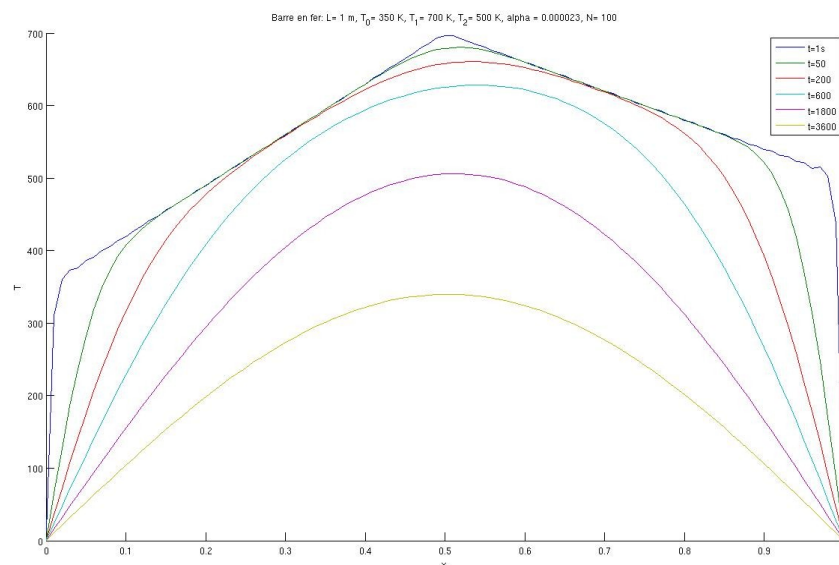
for n=1:N
    u=u + b(:,n)*sin(n*pi*x);
end
```

Ce code nous donne avec un nombre d'harmoniques bases:

En



augmentant N le nombre d'harmonique, on obtient un courbe plus précis pour $t=1s$ et $t=50s$ mais il y a peu de différence pour les temps plus avancé:



Ceci peut s'expliquer par en regardant quelques premières harmoniques (voir annexe n°1).

On remarque les amplitudes de $t=1s$ et $t=50s$ décroît moins vite que celles du $t=3600s$. Donc, on peut dire que les coefficients de fréquence plus ont moins en moins d'importance lors que le temps croît.

Annexe n°1 :

